



НАУЧНЫЕ СООБЩЕНИЯ

УДК 595.33:574.9(261)

И. Е. Драпун, канд. биол. наук, н. с.

Институт биологии южных морей им. А. О. Ковалевского Национальной Академии наук Украины,
Севастополь, Украина

**РАСПРОСТРАНЕНИЕ И ВИДОВОЕ РАЗНООБРАЗИЕ ПЕЛАГИЧЕСКИХ ОСТРАКОД
В ПРЕДЕЛАХ ЮЖНО-АТЛАНТИЧЕСКОГО СУБТРОПИЧЕСКОГО КРУГОВОРОТА**

С помощью показателей видового разнообразия проанализирован видовой состав пелагических остракод в разных районах Южно-Атлантического субтропического круговорота. Самое низкое видовое разнообразие остракод отмечено в течениях Фолклендском (ФТ) и Западных Ветров (ТЗВ), самое высокое – на юго-востоке центральной области круговорота (ЦОК). Распределение видов остракод по обилию более равномерное в ЦОК, чем в водах течений, где наблюдалось преобладание отдельных видов: *Pseudoconchoecia serrulata* – в ФТ и западной части ТЗВ; *Discoconchoecia elegans* (1.6 – 1.8 мм) – в восточной части ТЗВ; *D. elegans* (1.1 – 1.5 мм) – в Бразильском течении; *Mikroconchoecia curta* – в Южном Пассатном.

Ключевые слова: пелагические остракоды, распространение, видовое разнообразие, Южно-Атлантический субтропический круговорот

О распространении пелагических остракод в Южной Атлантике имеется довольно много сведений [6, 9, 10 - 17]. Однако в большинстве случаев маршруты экспедиций, по материалам которых исследовали планктонных остракод, охватывали отдельные акватории южно-атлантического субтропического круговорота. Работа Айлеса [10] выполнена на материалах из Бенгельского течения, Поулсена [12] – на материалах, собранных в пределах и южнее Гвинейского залива от 0 до 18° ю. ш. В серии работ [13 - 15] южно-атлантический материал составлял относительно небольшую часть всего материала, полученного в кругосветной экспедиции на судне "Дана", маршрут которого пересек Южную Атлантику от м. Доброй Надежды к северо-западной Африке. Диви [9] исследовала остракод вдоль 30° з. д. от экватора до 55° ю. ш. и на станциях над Аргентинской котловиной, и т. д. Целью нашей

работы было проанализировать видовое разнообразие и распространение остракод в разных районах единой океанической макроциркуляционной системы, каковой является южно-атлантический субтропический круговорот, по материалам, собранным в 1973 - 1979 гг. Подобные данные в литературе отсутствуют.

Материал и методы. Материал собран в 30-м и 32-м рейсах НИС "Михаил Ломоносов" и в 5-м рейсе НИС "Профессор Водяницкий" в районах: 1 – Фолклендского (ФТ) течения; 2, 3 – западной и восточной частей Течения Западных Ветров (ТЗВз, ТЗВв); 4 – Бенгельского (БнгТ); 5 – Южного Пассатного (ЮПТ); 6 – Бразильского (БрзТ) течений; 7, 8 – северо-западной и юго-восточной частей Центральной области круговорота (ЦОКс-з, ЦОКю-в); 9 – Южного субтропического фронта (ЮСТФ); 10 – Южного субполярного фронта (ЮСПФ) (рис. 1).

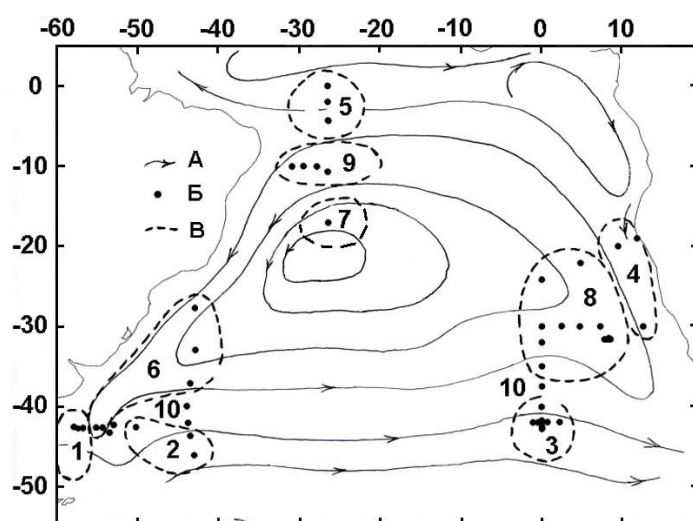


Рис. 1. Районы исследований (1 - 10, см. "Материал и методы"). А – направление течений (по [1], рис. 2); Б – станции; В – условные границы районов

Fig. 1. Regions of researches (1 - 10, see "Material and methods"). A – current direction (from [1], fig. 2); Б – stations; В – approximate borders of the regions

Пробы зоопланктона отбирали сетями Джеди с диаметром входного отверстия 36 и 80 см (сито с диаметром ячеек 120 и 300 мкм, соответственно). Облавливали в основном стандартные слои до глубины 500 м (1093 пробы). Материал фиксирован 4 % формалином. В каждой пробе, целиком просматриваемой под биноклем МБС-9, учтены все экземпляры остракод, определены их размеры и видовая принадлежность.

Для сравнения видового состава остракод различных районов круговорота использовался показатель сходства видового состава между двумя пробами [4]: $a = 2 \cdot S_{1,2} / (S_1 + S_2)$, где S_1 , S_2 – число видов в каждом из двух районов, $S_{1,2}$ – число общих для обоих районов видов. Особенность использования этого показателя заключалась в том, что при его расчете учитывались только те виды, численность которых (n_i) превышала 1% общей численности остракод (N) данного района (N , равно как и n_i , рассчитывали как среднюю для данного района величину численности под 1 м² поверхности воды). Тем самым ослаблялось влияние на величину показателя тех видов остракод, которые не играли существенной роли в данном районе. Для характеристики

видового разнообразия остракод различных районов использованы показатели [5]: "доминирования" – $C = \sum (n_i / N)^2$; общего разнообразия – $H' = - \sum (n_i / N) \cdot \log_2 (n_i / N)$; выравнивания – $V' = H' / \log_2 S$.

Результаты и обсуждение. Всю акваторию, на которой велись исследования, можно представить как два резко различных по условиям обитания биотопа: тепловодный (центральная часть круговорота и окаймляющие его теплые течения) и холодноводный (течения Западных Ветров и Фолклендское). Между ними проходит Южный субполярный фронт. Для каждого из них характерны комплексы видов, обитающих только здесь, а в соседний биотоп попадающих в незначительном количестве.

Подавляющее большинство видов (41 из 53) обитало в теплых водах (табл. 1). Распределялись они в пределах исследованной акватории по-разному. Часть явно тропического происхождения. *C. acuminata*, *C. giesbrechti*, *F. bicornis*, *O. atlantica* и *P. echinata* встретились, в основном, севернее 11° ю. ш., отдельные особи были пойманы южнее (до 22° ю. ш., иногда до 30° ю. ш.). Большинство видов обитают во всех тепловодных районах, однако

одни наиболее многочисленны в тропиках (*H. inflata*, *H. pelagica*, *M. curta*, *P. microprocera*), другие – южнее, в умеренных водах (*D. elegans*, *Metaconchoecia* sp. 2, *M. acuticosta*). Остальные виды распределены более или менее равномерно и многие из них

немногочисленны, возможно, по причине того, что основная часть популяции этих видов обитает глубже 500 м. Это справедливо, вероятно, для *C. subarcuata*, *C. imbricata*, *C. daphnoides*, *O. bispinosa*, *P. parthenoda*, *P. macroprocera* и др. [7, 14].

Таблица 1. Распространение видов остракод в Южной Атлантике
Table 1. The distribution of ostracod species in the South Atlantic

Вид	Районы*									
	БнгТ	ЮПТ	БРЗТ	ЦОКс-3	ЦОКю-в	ЮСТФ	ЮСПФз	ФТ	ТЗВз	ТЗВв
1	2	3	4	5	6	7	8	9	10	11
<i>Alacia alata</i>					+					
<i>A. hettacra</i>							+	+		
<i>Archiconchoecia cucullata</i>			+	+	+	+	+			
<i>A. striata</i>	+	+	+	+	+	+	+			
<i>A. ventricosa</i>		+		+		+				
<i>Conchoecetta acuminata</i>		+			+	+				
<i>C. giesbrechti</i>		+								
<i>Conchoecia lophura</i>					+	+				
<i>C. magna</i>	+	+	+	+	+	+	+			+
<i>C. parvidentata</i>							+	+		
<i>C. subarcuata</i>		+		+	+	+	+			
<i>Conchoecilla chuni</i>					+		+	+	+	+
<i>C. daphnoides</i>	+	+	+		+	+	+			+
<i>Conchoecissa ametra</i>		+								
<i>C. imbricata</i>	+		+	+	+		+		+	+
<i>C. symmetrica</i>					+		+	+	+	+
<i>Cypridina</i> sp.		+				+				
<i>Discoconchoecia elegans</i> (1.6 - 1.8 мм) **							+	+	+	+
<i>D. elegans</i> (1.1 – 1.5 мм) **	+	+	+	+	+	+	+			
<i>Euconchoecia chierchiaie</i>			+							
<i>Fellia bicornis</i>		+				+				
<i>F. cornuta</i>					+					
<i>F. dispar</i>		+			+					+
<i>Gaussicia edentata</i>								+		
<i>Halocypria globosa</i>					+					
<i>Halocypris inflata</i> + <i>H. pelagica</i> [2]	+	+	+	+	+	+	+			+
<i>Loricoecia loricata</i>					+					
<i>Metaconchoecia isoheira</i>								+		
<i>M. nasotuberculata</i>	+	+	+		+	+	+			
<i>M. pusilla</i>		+								
<i>Metaconchoecia</i> sp.1							+	+	+	+
<i>Metaconchoecia</i> sp.2	+	+	+		+		+			
<i>Metaconchoecia</i> spp.	+	+	+	+	+	+	+	+		+
<i>Mikroconchoecia acuticosta</i>	+		+		+		+			+
<i>M. curta</i>	+	+	+	+	+	+	+	+	+	
<i>M. echinulata</i>			+	+	+	+				
<i>Mollicia mollis</i>		+								

Продолжение табл. 1. Table 1 (Contnd.)

1	2	3	4	5	6	7	8	9	10	11
<i>Obtusoecia antarctica</i>	+				+		+	+	+	+
<i>Orthoconchoecia atlantica</i>	+	+		+		+				
<i>O. bispinosa</i>	+	+	+	+	+	+	+			
<i>O. haddoni</i>					+		+	+	+	+
<i>O. secernenda</i>	+	+	+	+	+	+	+	+		
<i>Paraconchoecia aequiseta</i>					+	+				
<i>P. echinata</i>	+	+				+				
<i>P. oblonga</i>	+	+	+	+	+	+	+			
<i>P. spinifera</i>	+	+	+	+	+	+	+			
<i>Porroecia parthenoda</i>	+	+	+	+	+	+	+			
<i>P. porrecta</i>		+	+	+	+	+	+			
<i>P. spinirostris</i>	+	+	+	+	+	+	+	+		
<i>Proceroecia macroprocera</i>		+		+	+					
<i>P. microprocera</i>		+	+	+	+	+	+			
<i>P. procera</i>	+	+	+	+	+	+	+			+
<i>Pseudoconchoecia serrulata</i>				+			+	+	+	+

* Буквенные обозначения см. в разделе "Материал и методы"

** Крупная и мелкие формы *D. elegans*. Здесь представлены в качестве категории "вид", отличаются размерами и занимают резко различные по условиям обитания экологические "ниши" [2]

* Letter designations see in "Material and methods"

** Large form and small forms of *D. elegans*. In this paper they are submitted as "species", their sizes and conditions of life are sharply various [2]

В холодных течениях встретились 12 видов остракод (см. табл. 1). Из них *M. isoheira* и *G. edentata* отмечены только в Фолклендском течении и были представлены единичными экземплярами, *A. hettacra* – только на юго-западе круговорота (ФТ и ТЗВз), *F. dispar* – только в восточной части ТЗВ. Остальные виды обнаружены во всех трех районах.

В распределении большинства видов в пределах круговорота заметна особенность, связанная с "асимметрией гидрологических условий в направлении восток-запад, искажающей закономерность широтной асимметрии, обусловленной географической зональностью" [1, стр. 232]. Направление течений и, как следствие, различия, прежде всего, в температуре воды восточной и западной областей круговорота способствуют тому, что субтропические виды остракод зачастую проникают заметно дальше на юг в западной части круговорота, нежели в восточной, а субантарктические виды на востоке распространяются в се-

верном направлении, иногда достигая района субтропиков. Например, *O. antarctica*, массовый вид в ФТ и ТЗВ, встречалась в единичных экземплярах до 30° ю. ш., *C. symmetrica* и *O. haddoni* – до 20° ю. ш.

В зоне Южного Субполярного Фронта обнаружены как субтропические, так и субантарктические виды. *D. elegans* встретилаь по всей исследованной акватории; при этом в субантарктике обитала крупная форма (1.6 – 1.8 мм), в теплых водах круговорота – малая (1.1 – 1.3) и средняя (1.3 – 1.5 мм) [2]. Существует мнение, что *D. elegans* представляет собой комплекс, по крайней мере, из трех близкородственных видов [8].

Более детально распространение видов остракод в пределах субтропического круговорота можно рассмотреть, анализируя их количественное распределение в различных районах (рис. 2, табл. 2, 3).

На рисунке представлены диаграммы, изображающие процентное соотношение видов в 12 исследованных районах.

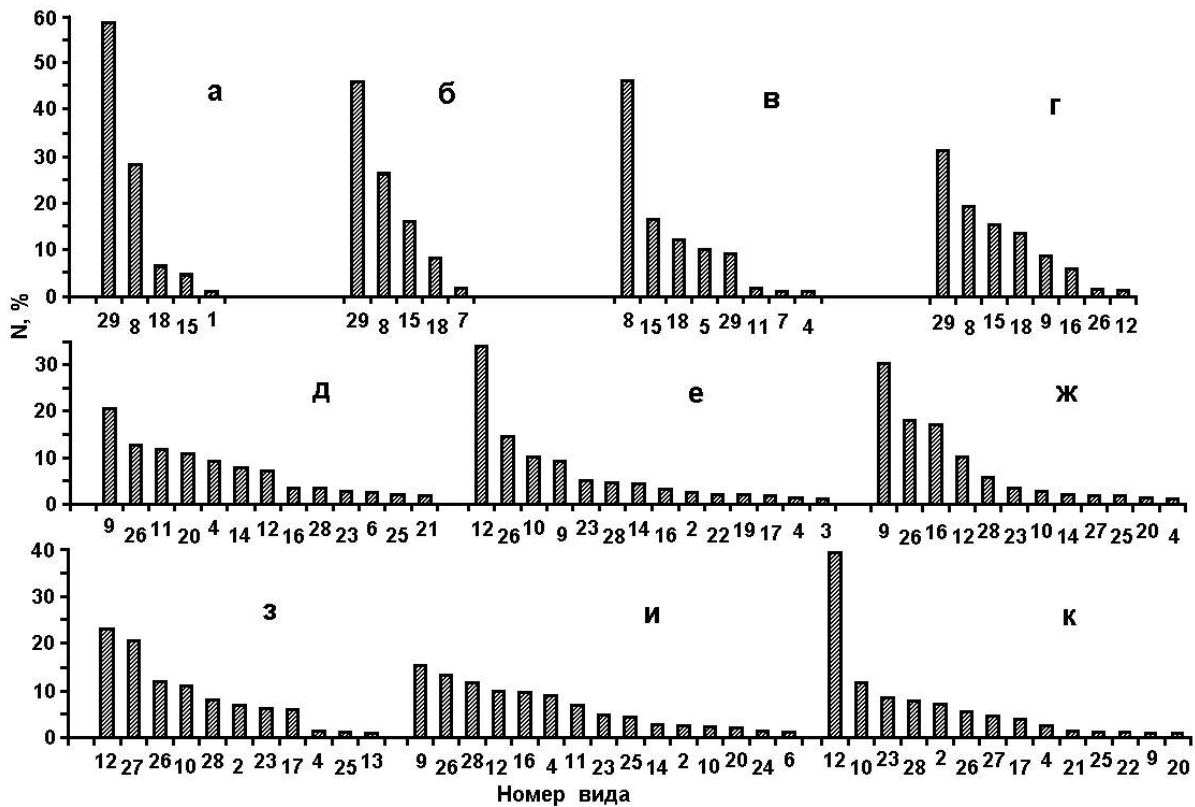


Рис. 2. Количественное распределение видов остракод в Южной Атлантике (а – ФТ; б – ТЗВз; в – ТЗВв; г – ЮСПФ; д – БнгТ; е – ЮПТ; ж – БрзТ; з – ЦОКс-з; и – ЦОКю-в; к – ЮСТФ. 1 – *A. hettacra*; 2 – *A. striata*; 3 – *C. acuminata*; 4 – *C. magna*; 5 – *C. chuni*; 6 – *C. imbricata*; 7 – *C. symmetrica*; 8 – *D. elegans* кр. ф.; 9 – *D. elegans* м. ф.; 10 – *H. inflata* + *H. pelagica*; 11 – *M. acuticosta*; 12 – *M. curta*; 13 – *M. echinulata*; 14 – *M. nasotuberculata*; 15 – *Metaconchoecia* sp. 1; 16 – *Metaconchoecia* sp. 2; 17 – *Metaconchoecia* spp.; 18 – *O. antarctica*; 19 – *O. atlantica*; 20 – *O. bispinosa*; 21 – *O. secernenda*; 22 – *P. echinata*; 23 – *P. oblonga*; 24 – *P. spinifera*; 25 – *P. parthenoda*; 26 – *P. spinirostris*; 27 – *P. microprocera*; 28 – *P. procera*; 29 – *P. serrulata*)

Fig. 2. The numerical distribution of ostracod species in the South Atlantic (а – Falkland Current; б – West Wind Drift (west); в – West Wind Drift (east); г – Southern Subpolar Front; д – Benguela Current; е – South Equatorial Current; ж – Brazil Current; з – Central Gyre (north-west); и – Central Gyre (south-east); к – Southern Subtropical Front)

Таблица 2. Количество видов, численность, показатели видового разнообразия остракод в Южной Атлантике
Table 2. Number of species, abundance and indexes of species diversity of ostracods in the South Atlantic

Район	S	N	C	H'	V'
ФТ	15	14341	0.43	1.55	0.40
ТЗВз	9	1926	0.32	1.95	0.62
ТЗВв	15	1611	0.28	2.32	0.59
БнгТ	25	1257	0.11	3.57	0.77
ЮПТ	30	5124	0.17	3.29	0.67
БрзТ	24	2574	0.17	3.11	0.68
ЦОКс-з	21	1772	0.14	3.20	0.73
ЦОКю-в	34	1426	0.09	3.75	0.74
ЮСТФ	28	1755	0.19	3.13	0.65
ЮСПФ	30	9225	0.19	2.81	0.57

S – количество видов; N, экз./м² – численность; C, H', V' – показатели: доминирования, общего разнообразия и выравниваемости

S – number of species; N, ind./m² – abundance; C, d, H', e – index of: dominance, total species diversity, equitability

Таблица 3. Величины показателя сходства видового состава (а) остракод между районами исследования в Южной Атлантике

Table 3. The values similarity index of ostracod species composition of the South Atlantic regions

Район	ФТ	ТЗВз	ТЗВв	БнгТ	ЮПТ	БрзТ	ЦОКс-з	ЦОКю-в	ЮСПФ
ТЗВз	0.80								
ТЗВв	0.62	0.77							
БнгТ	0	0	0.19						
ЮПТ	0	0	0.09	0.59					
БрзТ	0	0	0.10	0.80	0.69				
ЦОКс-з	0	0	0.11	0.50	0.64	0.70			
ЦОКю-в	0	0	0.17	0.86	0.69	0.81	0.62		
ЮСПФ	0	0	0.09	0.67	0.71	0.69	0.80	0.69	
ЮСТФ	0.73	0.73	0.57	0.42	0.40	0.44	0.24	0.42	0,30

В диаграммы вошли только те виды, численность которых составляла более 1% общей численности остракод данного района.

Характеристику районов целесообразно начать с юго-западного сектора круговорота – ФТ и ТЗВз. Эта область отличалась сложной гидрологической структурой и высокой динамической активностью вод [1], а также наибольшим обилием остракод (табл. 2)[3].

Обращает на себя внимание сходство видового состава ($a = 0,8$; табл. 3) остракод в Фолклендском течении (рис. 2, а) и в западной части ТЗВ (рис. 2, б), свидетельствующее об общности происхождения вод этих течений. Аналогичное сходство видового состава отмечали и в отношении других групп планктонных животных [1]. Для этих районов характерны наименьшие величины показателя "общего разнообразия" и наибольшие "доминирования" (табл. 2). В обоих течениях резко преобладали два вида остракод – *P. serrulata* (58 и 46 %) и *D. elegans*, 1.6–1.8 мм (29 и 27 %).

Далее к востоку картина распределения видов в Течении Западных Ветров (рис. 2, в) несколько изменилась. Увеличилось число видов; значительно уменьшилось количество *P. serrulata*, доминирующей на западе (на востоке она заняла 5-ое место по обилию); возросла роль *D. elegans* (1.6–1.8 мм) ставшей в

восточной части ТЗВ руководящим видом; заметно возросло количество *C. chuni* (10 %), которая западнее обнаруживалась в единичных экземплярах. В восточной части ТЗВ гидрологические градиенты, в частности, градиенты температуры и солености, заметно меньше (5°C и 1 ‰ на 100 миль вдоль нулевого меридиана), чем в западной (4°C и 1.4 ‰ на 10 миль вдоль $43^{\circ} 30'$ з. д.) [1]. Вероятно, этим объясняется более богатый видовой состав остракод восточной части ТЗВ, которая, благодаря меньшим градиентам среды, оказывается более доступной как для субтропических видов, проникающих сюда с севера (*C. magna*, *C. imbricata*, *H. inflata*, *M. acuticosta* и некоторые другие), так и для антарктических видов, таких как *C. chuni*, характерных для высоких широт Южного полушария [9].

Поворачивая на северо-северо-запад и сливаясь с течением Игольного мыса, Течение Западных Ветров образует Бенгельское течение. Показатель "доминирования" (С) здесь низок (0.11; табл. 2), на первом месте по обилию находится *D. elegans*, 1.1–1.5 мм (рис. 2, д). Этот район был одним из наиболее бедных по количеству остракод (табл. 2), несмотря на то, что здесь, благодаря влиянию апвеллинга, другие группы планктонных животных, в частности, копеподы, развивались в значитель-

ных количествах [1]. Бенгельское течение проходит вдоль западного побережья Африки и станции, выполненные там, располагались ближе к берегу (рис. 1), чем остальные. Возможно, причина обнаружения небольших количеств остракод в Бенгельском Течении заключалась именно в этом обстоятельстве, т. к. еще Айлес [10], изучавший остракод из этого района, отмечал, что планктонные остракоды являются, как правило, океаническими формами и ближе к берегу становятся малочисленнее.

В Южном Пассатном течении (рис. 2, е) доминировала *M. curta*, которая южнее, в умеренных широтах, была малочисленнее (в БнгТ – на 7 месте, в БрзТ и на юго-востоке ЦОК – на 4-м). Далее в Бразильском течении (рис. 2, ж) преобладала *D. elegans*, 1.1 – 1.5 мм, как и на противоположной стороне круговорота – в Бенгельском течении. Набор массовых видов в обоих течениях примерно одинаков ($a = 0.8$; табл. 3), но в Бразильском заметнее доминирование отдельных видов (рис. 2, табл. 2).

В центральных районах круговорота количественное распределение видов было, как правило, более или менее выравнено (рис. 2, з, и; табл. 2). На юго-востоке ЦОК отмечено наибольшее видовое разнообразие планктонных остракод. Это же справедливо и в отношении других планктонных животных, обитающих примерно между 30 и 40° ю. ш. [8, fig. 4]

Распределение видов в районах гидрологических фронтов совмещало в себе особенности соседних областей. В зоне Южного субполярного фронта (рис. 2, г) преобладали те же виды, что и в Фолклендском течении, но, кроме того, появились типично субтропические формы. В районе Южного субтропического фронта (рис. 2, к) резко доминировала *M. curta* (41 %), заметно более резко, чем в Южном Пассатном течении и, тем более, на северо-западе ЦОК (соседние с ЮСТФ районы). Распределение остальных видов было типичным для центральных областей круговорота.

Выводы. В холодных течениях, Фолклендском и Западных Ветров, ограничивающих с юга южно-атлантический субтропический круговорот, обитает сравнительно небольшое количество видов остракод, имеющих самые высокие в Южной Атлантике величины численности. В тепловодных областях круговорота видов заметно больше. Распределение видов по обилию в центральных (относительно малоподвижных) областях круговорота более равномерное, чем в водах течений, где наблюдалось преобладание отдельных видов: *P. serrulata* – в ФТ и ТЗВз; *D. elegans* (1.6 – 1.8 мм) – в ТЗВв; *D. elegans* (1.1 – 1.5 мм) – в Бразильском течении; *M. curta* – в Южном Пассатном.

1. Грезе В. Н., Латун В. С., Новоселов А. А. и др. Биопродукционная система крупномасштабного океанического круговорота / Под общ. ред. В. Н. Грезе. – Киев: Наук. думка, 1984. – 264 с.
2. Драпун И. Е. Изменчивость длины раковины взрослых особей широко распространенных видов пелагических остракод Южной Атлантики // Экология моря. – 2002. – Вып. 62. – С. 46 - 51.
3. Драпун И. Е., Грезе В. Н. Остракоды в планктонном сообществе Южной Атлантики // Экология моря. – 1989. – Вып. 31. – С. 30 - 35.
4. Одум Ю. Основы экологии. – М.: Мир, 1975. – 740 с.
5. Песенко Ю. А. Принципы и методы количественного анализа в фаунистических исследованиях. – М.: Наука, 1982. – 287 с.

6. *Angel M. V.* Plankton oceanic ostracods – historical, present and future // Proc. Royal Soc. Edinburgh. – 1972. – В, **73**, № 22. – P. 213 - 228.
7. *Angel M. V.* Studies on Atlantic halocyprid ostracod: their vertical distributions and community structure in the central gyre region along latitude 30° N from off Africa to Bermuda // Prog. Oceanog. – 1979. – **8**. – P. 3 - 124.
8. *Angel M. V.* Ostracoda // South Atlantic Zooplankton / Edited by D. Boltovskoy. – Leiden: Backhuys Publishers, 1999. – **1**. – P. 815 - 868.
9. *Deevey G. B.* Pelagic ostracods collected on "Hudson 70" between the equator and 55° S in the Atlantic // Proc. Biol. Soc. Wash. – 1974. – **87**, № 32. – P. 351 - 380.
10. *Iles E. J.* A preliminary report on the Ostracoda of the Benguela Current // Discovery Reports. – 1953. – **26**. – P. 259 - 280.
11. *Moguilevsky A., Angel M. V.* Halocyprid ostracods in Atlantic neuston // Marine Biology. – 1975. – **32**, № 3. – P. 295 - 302.
12. *Poulsen E. M.* Ostracoda - Myodocopa from the eastern Tropical Atlantic // Vidensk. Meddr. Dansk naturh. Foren. – 1969. – **132**. – S. 129 - 197.
13. *Poulsen E. M.* Ostracoda - Myodocopa. Part III A. Halocypriformes - Thaumatoocypridae and Halocypridae // Dana-Report. – 1969. – № 75. – 100 p.
14. *Poulsen E. M.* Ostracoda - Myodocopa. Part III B. Halocypriformes - Halocypridae, Conchoecinae // Dana-Report. – 1973. – № 84. – 224 p.
15. *Poulsen E. M.* Zoogeographical remarks on marine pelagic ostracoda // Dana Report. – 1977. – № 8. – 34 p.
16. *Ramires F. C., Moguilevsky A.* Ostracodos planktonicos hallados en aguas oceanicos frente a la Provincia de Buenos Aires (Resultados de la XLI Comissao Oceanographica Costa Sul) // Physis. – 1971. – **30**, № 81. – P. 637 - 666.
17. *Rocha C. E. F. da.* Distribution of *Euconchoecia chierchiae* G.W. Muller (Crustacea, Ostracoda) off Santos, Brazil // Bol. Zool. – 1983. – № 6. – P. 53 - 61.

Поступила 15 мая 2003 г.

Distribution and species diversity of pelagic ostracods within South Subtropical Gyre. I. E. Drapun. Species composition of ostracods from different regions of the South Atlantic Subtropical Gyre has been analyzed using species diversity indexes, calculated for each region. The lowest values of ostracod species diversity have been recorded in the West Winds Drift (WWD) and Falkland Current (FC); the highest – in the southeastern area of the Central Gyre. The numerical distribution of ostracod species in the Central Gyre was more homogeneous, than in waters of the currents, where prevalence of separate species is occurred: *Pseudoconchoecia serrulata* – in FC and in the west part of WWD; *Discoconchoecia elegans* (1.6 – 1.8 мм) – in the east part of WWD; *D. elegans* (1.1 – 1.5 мм) – in the Brazil Current; *Mikroconchoecia curta* – in the South Equatorial Current.

Key words: pelagic ostracods, distribution, species diversity, South Atlantic Subtropical Gyre

Поширення та видове різноманіття пелагічних остракод у межах Південно-Атлантичного субтропічного круговороту. І. Є. Драпун. Аналізується видовий склад остракод у різних районах Південно-Атлантичного субтропічного круговороту за допомогою показників видового різноманіття, розрахованих для кожного з районів. Найнижче різноманіття остракод відзначене у течіях Фолклендської (ФТ) і Західних Вітрів (ТЗВ), найвище – на південно-сході центральної області круговороту (ЦОК). Поширення видів остракод за рясністю більш рівномірне в ЦОК, чим у водах течій, де спостерігалася перевага окремих видів: *Pseudoconchoecia serrulata* – у ФТ і західній частині ТЗВ; *D. elegans* (1.6 – 1.8 мм) – у східній частині ТЗВ; *Discoconchoecia elegans* (1.1 – 1.5 мм) – у Бразильській течії; *Mikroconchoecia curta* – у Південній Пасатній.

Ключові слова: пелагічні остракоди, поширення, видове різноманіття, Південно-Атлантичний субтропічний круговорот